DOI:10.3969/j. issn. 1000-9760. 2016. 05. 015

・学生园地・

β-环糊精对甲氨蝶呤的包合作用*

周 静^{1▲} 李兆楼^{2Δ} 陈昌琳^{1▲} 刘 莹^{1▲} 李琳琳^{1▲} (¹济宁医学院;²济宁医学院基础医学院,济宁 272067)

摘 要 目的 研究 β-环糊精大环分子对甲氨蝶呤分子的包合作用,测定其化学组成包合比、表观解离常数,并提出包合物可能的结构模型。方法 利用紫外分光光度法测定甲氨蝶呤稀溶液吸光度,根据吸收强度变化来确定包合物形成。利用连续变量法(Job's plot)测定其摩尔包合比、表观解离常数等。结果 研究表明,甲氨蝶呤的吸光度随着 β-环糊精浓度的增大而增大,二者能够形成包合物;Job's plot 也表明,甲氨蝶呤最大的吸光度变化值对应的 β-环糊精摩尔分数为 0.5,故甲氨蝶呤能够与 β-环糊精形成组成为 1:1 的包合物,包合物的表观解离常数为 1.30×10^5 。结论 抗癌药物甲氨蝶呤可与大环分子 β-环糊精发生包合作用,甲氨蝶呤分子的一部分可被包合在环糊精分子空腔中。对于进一步研究以 β-环糊精为辅料的甲氨蝶呤药物制剂的内部微结构和性质、性能具有意义。

关键词 甲氨蝶呤;β-环糊精;连续变量法;包合摩尔比

中图分类号: 0656.9 文献标识码: A 文章编号: 1000-9760 (2016) 10-357-05

Inclusion complexes of β - cyclodextrin with methotrexate

ZHOU Jing¹, LI Zhaolou², CHEN Changlin¹, LIU Ying¹, LI Linlin¹
(¹Jining Medical University; ²School of Basic Medicine, Jining Medical University, Jining 272067, China)

Abstract: Objective The goal of present study is to confirm the formation of the inclusion complexes of $\beta\beta$ -cyclodextrin with methotrexate molecules. The inclusion molar ratio and the apparent dissociation constant of the β -cyclodextrin complexes are explored, and the possible structure of the inclusion complexes is proposed. Methods The UV absorbances of methotrexate were measured by spectrophotometry in dilute concentrations, and the formation of the β -cyclodextrin complexes was determined according to the absorption intensity change. The inclusion molar ratio and the apparent dissociation constant of the β -cyclodextrin complexes were obtained using the continuous variation method (Job's plot). Results The absorbance of methotrexate increased with the addition of β -cyclodextrin. This result suggests formation of the inclusion complexes. The maximum absorbance changes existed at the point of β -cyclodextrinmolar fraction of 0.5 on job's plot, indicating that β -cyclodextrin complexes was formed in inclusion molar ratio of 1:1. The apparent dissociation constants of the conclusion complexes was 1. 30 × 10⁻⁵. Conclusion A methotrexate molecule can partly be contained into the cavity of β -cyclodextrin macrocylic molecule in the inclusion complexes. These results showed the significance for further studying the microstructure and properties of pharmaceutical preparations constructed by β -cyclodextrin and methotrexate molecules.

Keywords: Methotrexate; β-Cyclodextrin; Continuous variation method; Inclusion molar ratio

甲氨蝶呤(Methotrexate, MTX)作为二氢叶酸还原酶抑制剂,在临床上不仅对白血病有效,而且对实体瘤如头颈部癌、骨肉瘤等都有良好疗效^[1-2],也是重要的抗风湿药物之一。人们试图开发各种 MTX 的新型药物制剂如凝胶剂等^[3],本课题组拟开发 β-环糊精(β-Cyclodextrin,β-CD)为辅

^{*[}基金项目]济宁医学院大学生科研项目(2015-06);济 宁市科技计划(医药卫生)项目(2015-53)

^{△「}通信作者]李兆楼,E-mail:jnzhaolou@mail.jnmc.edu.cn

[▲] 刘莹,济宁医学院药学院 2012 级学生

[▲] 陈昌琳,李琳琳,济宁医学院临床医学院 2013 级学生

[▲] 周静,济宁医学院精神卫生学院 2014 级学生

料的 MTX 的新型药物制剂,需要深入研究制剂内部 β-CD 分子与 MTX 的相互作用关系。β-CD 为辅料的新型药物制剂的优点在于,β-CD 分子的大环空腔(图 1) 可以全部或部分地包合大多数药物分子,故能增大脂溶性药物的溶解度,且具有一定稳定性而无毒副作用^[4];特别是β-CD 包合物对抗癌药物分子有控释与缓释的作用,新型药物制剂可提高对癌细胞的抑制率^[5]。因此,我们研究β-CD分子与 MTX 的包合作用,采用紫外可见分光光度法、连续变量法^[68]探讨β-CD与 MTX 包合物的组成比,利用数学推导及作图法求算包合物表观解离常数,以说明包合物的稳定性等情况。为深入研究β-CD 辅料的 MTX 药物制剂的性质、性能等,提供其内部微结构和分子间作用关系等基本参考数据。

1 材料与方法

1.1 试剂与仪器

MTX 原料药(北京亚希尔化学制品有限公司)、MTX 标准品(中国药品生物制品检定所)、β-环糊精(天津市科密欧化学试剂有限公司),其他试剂均为分析纯;紫外可见分光光度计(UV-2501PC,日本岛津)。

1.2 标准溶液配制

称取一定质量的 MTX 标准品,加入一定体积的 NaOH 溶液(1.0×10² mol/L)在烧杯中溶解,然后转移至容量瓶中,以 NaOH 稀溶液定容。再分别量取不同体积溶液转移到各容量瓶中,配成一系列不同浓度的 MTX 标准溶液。

1.3 包合物的制备

量取一定体积一定浓度的 MTX 水溶液于纳氏 比色管中,再加入一定体积一定浓度的 β-CD 水溶 液混合均匀,避光保存 24h,待测。

1.4 溶液吸光度测定

以1cm 厚度的比色皿取一定浓度的待测液, NaOH 稀溶液 做参比溶液,使用 UV-2501PC 在302nm 处测定其吸光度。

2 结果与讨论

2.1 标准曲线的绘制

取6支具塞试管,按表1中MTX的一系列浓度 CMTX的水溶液取样,在波长302nm处测得不同浓度试管中MTX对应的吸光度A值。见表1。

表1 不同浓度的 MTX 水溶液对应的吸光度

序号	C _{MTX} /mol·L ⁻¹	A
1	0	0
2	8.80×10^{-6}	0.198
3	1.76×10^{-5}	0.401
4	2.64×10^{-5}	0.617
5	3.52×10^{-5}	0.831
6	4.40×10^{-5}	1.051

将溶液浓度和对应的平均吸光度进行回归分析,得到回归方程 A = 0.2392C - 0.0101, R² = 0.9995,将回归方程拟合得到标准曲线(图1)。表明 MTX 在一定浓度范围内其浓度与吸光度 A 呈线性关系。

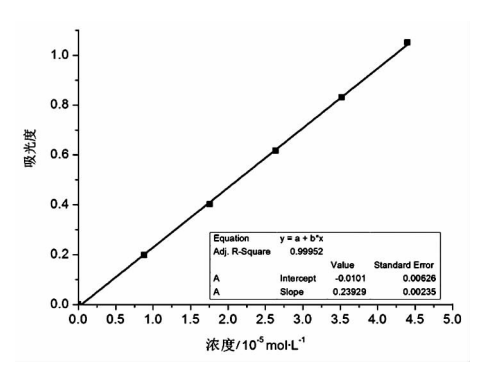


图1 MTX 的紫外吸收的标准曲线

2.2 包合物的形成

考察 β -CD 对 MTX 紫外吸收产生的影响,可以确定 β -CD 与 MTX 分子之间的包合作用。我们配制一系列固定浓度 1.0×10^4 mol/L 的 MTX 溶液,加入不同浓度的 β -CD 形成一系列混合液,混匀避光保存 24h 后,比较在波长 302nm 处的最大吸收情况。见图 2。

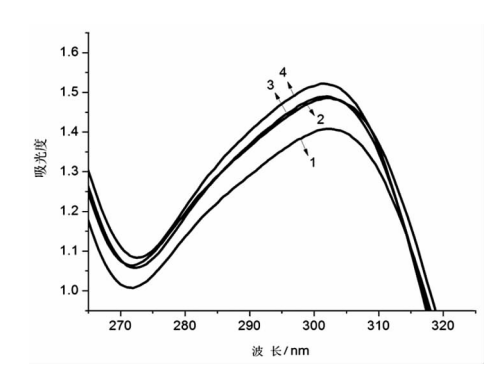


图 2 不同浓度 β -CD 下的 $MTX(1.0 \times 10^4 \text{mol/L})$ 的 紫外吸收图谱

由图 2 可知,随着 β-CD 浓度的增大,MTX 水溶液的吸光度逐渐增大,且伴有蓝移趋势。由于 β-CD 在波长 220nm 以上无吸收,所以,上述变化现象表明,随着 β-CD 的加入,MTX 分子一端的蝶啶环结构可能部分进入了 β-CD 分子空腔,空腔内的高电子云密度造成了蝶啶环的对称性降低,使MTX 分子内 π-π*的跃迁强度增大 [9-12]。因而,可以合理地确认,MTX 客体分子的部分结构与 β-CD 分子空腔发生了包合作用。包合作用对 MTX 在水溶液中的溶解度有促进作用。

2.3 包合比的测定

确定 β-CD 与 MTX 包合物的包合比,采用连续变量法 $^{[10,13]}$ 进行测定并作图求之。首先,配制一系列不同浓度的 MTX 水溶液,并测定其一系列吸光度 A_0 值(表 2);而后在 MTX 系列溶液中加入一定量 β-CD,使一系列溶液中的 β-CD 摩尔分数呈递增变化趋势,而 MTX 和 β-CD 二者总浓度之和(即 1.0×10^4 mol/L)保持不变,测其吸光度,得到对应的一系列 A 值(表 2);以 β-CD 的摩尔分数 $F_{\beta\text{-CD}}$ 为横坐标,以所对应的 ΔA 即($A\text{-}A_0$)值为纵坐标作图,拟合得到一条曲线(图 3),即等摩尔 Job's 图 $^{[10-13]}$ 。

表 2 MTX 和 β-CD 等摩尔连续变量法 对应的吸光度及其改变量

序号	$\rm C_{MTX}/mol/L$	A_0	$C_{\text{\beta-CD}}/\text{mol/L}$	$F_{\beta\text{-CD}}$	A	$\Delta A = A - A_0$
1	1.0×10^{-4}	1.914	0	0	1.914	0
2	9.0×10^{-5}	1.793	1.0×10^{-5}	0.1	1.807	0.014
3	8.0×10^{-5}	1.521	2.0×10^{-5}	0.2	1.544	0.023
4	7.0×10^{-5}	1.317	3.0×10^{-5}	0.3	1.349	0.032
5	6.0×10^{-5}	1.135	4.0×10^{-5}	0.4	1.175	0.04
6	5.0×10^{-5}	0.939	5.0×10^{-5}	0.5	0.981	0.042
7	4.0×10^{-5}	0.762	6.0×10^{-5}	0.6	0.802	0.04
8	3.0×10^{-5}	0.609	7.0×10^{-5}	0.7	0.645	0.036
9	2.0×10^{-5}	0.426	8.0×10^{-5}	0.8	0.448	0.022
10	1.0×10^{-5}	0.183	9.0×10^{-5}	0.9	0.197	0.014
11	0	0	1.0×10^{-4}	1.0	0	0

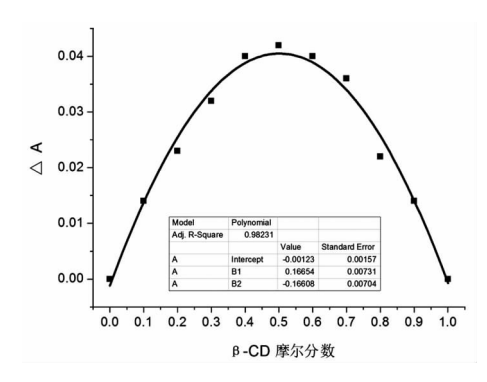


图 3 水溶液中的 β-CD 和 MTX 等摩尔 Job's 图

由于加入 β-CD 后的包合作用会使 MTX 的吸光度增大,那么曲线上 ΔA 最大值(即吸光度改变的最大值)表明两者在量的方面实现了最充分的包合,此处所对应的β-CD摩尔分数即表明了包合物的组成。由图 3 可以看出,曲线上 ΔA 最大值对应的β-CD摩尔分数是 0.5,表明所形成的包合物组成比为1:1。

2.4 包合物的表观解离常数

求算出包合物表观解离常数(K_d)或稳定常数 (K_f),可以评价 MTX- β -CD 包合物的稳定性。一般参照 Benesi-Hildebrand 方程式^[14],在连续变量 法(见2.3)的基础上可以求算。相关文献推导出 关系式(5)^[9]和关系式(9)^[15]等,我们同样可以建立关于 MTX- β -CD 包合物表观解离常数(K_d)的关系式(1),式中 ϵ 代表摩尔吸光系数。

$$\frac{A_0}{A - A_0} = \frac{\varepsilon_{MTX}}{\varepsilon_{MTX \cdot \beta - CD} - \varepsilon_{MTX}} + \frac{\varepsilon_{MTX}}{\varepsilon_{MTX \cdot \beta - CD} - \varepsilon_{MTX}} \times \frac{K_d}{C_{\beta - CD}}$$
(1)

对表 2 中的有关数据处理,可得到一系列 $(A_0/A-A_0)$ 绝对值与 $(1/C_{\beta-CD})$ 对应的数据(表 3);如果以 $1/C_{\beta-CD}$ 为横坐标、 $A_0/A-A_0$ 值为纵坐标作图,回归拟合分析后得到一条直线(图 4),该直线斜率 (1.3146×10^{-5}) 与截距(1.0087)的比值,即包合物表观解离常数 $K_d=1.30\times10^{-5}$ 。 K_d 值的大小表明,MTX- β -CD 包合物具有一定的稳定性,存在包合与解离的平衡关系,表明 β -CD 辅料的药物制剂对 MTX 分子有控释与缓释作用。

表 3 MTX 和 β-CD 等摩尔连续变量法中 $(A_0/A-A_0)$ vs. $(1/C_{g-CD})$ 数据

	1	2	3	4	5	6	7	8	9	10
1/ C _{β-CD}	1.0×10^{5}	1.1×10^{5}	$1.3 \times 10_5$	1.4×10^{5}	1.7×10^{5}	2.0×10^{5}	2.5×10^{5}	3.3×10^{5}	5.0×10^{5}	1.0×10 ⁶
$A_0/A-A_0$	0	14.07	20.36	20.05	23.35	29.375	29.38	42.16	67.13	129.07

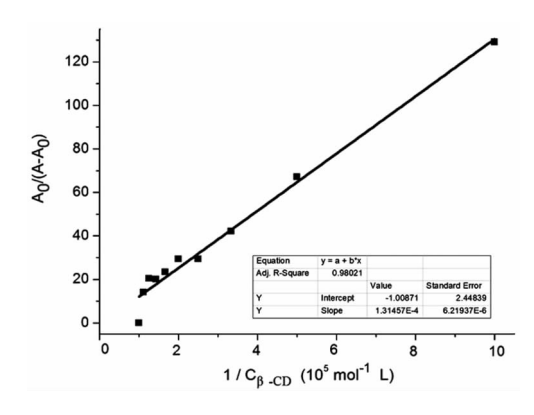


图 4 等摩尔连续变量法(A₀/A-A₀)vs.(1/C_{B-CD})图

2.5 包合物的可能结构

客体分子能够被 β-CD 分子空腔发生包合的必要条件是,客体分子的几何形状、尺寸和极性必须与之相互匹配^[16-17]。MTX 分子是长链形状的分子,它的一端具有疏水性的蝶啶环结构,另一端是亲水的谷氨酸结构。β-CD 分子的疏水性空腔更容易接受疏水性的蝶啶环,而不易包容亲水性的谷氨酸结构。我们已经知道,MTX-β-CD 包合物组成比为1:1。β-CD 分子可能部分地包合 MTX 分子的蝶啶环(图 5)。MTX 分子长链也可能弯折使谷氨酸结构部分与β-CD 分子空腔口的羟基(—OH)等基团发生超分子作用如范德华力、氢键、偶极作用等,对稳定包合物的结构产生一定影响^[16-17]。

图 5 MTX-β-CD 包合物的可能结构示意图

3 结论

β-环糊精分子与抗癌药物 MTX 分子能够形成 具有一定稳定性的包合物,包合物的组成比为1:1, 包合物的表观解离常数为1.30×10⁻⁵。这为深入 研究β-环糊精为辅料的 MTX 新型药物制剂,提供 其内部微结构和分子间作用关系等基本数据,尤其 为β-环糊精与药物分子能够产生控释与缓释作用 提供了结构性佐证。

参考文献:

- [1] 梅升辉,杨莉,赵明,等. HPLC-MS/MS 法测定人血浆中甲氨蝶呤浓度的不确定度评定[J]. 中南药学, 2016,14(2):117-122.
- [2] 张爱梅,王怀生,罗玉会. 甲氨蝶呤与 DNA 相互作用的荧光光谱研究[J]. 分析测试学报,2008,27(1): 45-48.
- [3] 王雪明,冯端浩,李俊山,等. 甲氨蝶呤凝胶的制备及质量控制[J]. 中国新药杂志,2003,12(8):631-632.
- [5] Sun T, Guo Q, Zhang C, et al. Self-assembled vesicles prepared from amphiphilic cyclodextrins as drug carriers [J]. Langmuir, 2012, 28 (23): 8625-8636. DOI: 10. 1021/la301497t.
- [6] Renny JS, Tomasevich LL, Tallmadge EH, et al. Method of continuous variations: applications of job plots to the study of molecular associations in organometallic chemistry [J]. Angew Chem Int Ed Engl, 2013, 52 (46): 11998-12013. DOI:10.1002/anie. 201304157.
- [10] Song LX, Wang HM, Guo XQ, et al. A comparative study on the binding behaviors of β-cyclodextrin and its two derivatives to four fanlike organic guests [J]. Journal Organic Chemistry, 2008, 73 (21): 8305-8316. DOI: 10. 1021/jo801436h.
- [11] Smith VK, Ndou TT, Warner IM. Spectroscopic study of the interaction of catechin with α-, β-, and γ-Cyclodextrins[J]. Journal of Physical Chemistry, 1994, 98 (35): 8627-8631. DOI:10.1021/j100086a007.
- [12] Otagiri M, Uekama K, Ikeda K. Inclusion complexes of cyclodextrin with tranquilizing drugs phenothiazines in a-queous solution [J]. Chemical and Pharmaceutical Bulletin, 1975, 23;188-195. DOI;10.1248/cpb.23.188.
- [13] Singh AP, Cabrer PR, Alvarez-Parrilla E, Meijide F, et al. Complexation of 6-deoxy-6-(aminoethy) amino-β-cyclodextrin with sodium cholate and sodium deoxycholate [J]. Journal of Inclusion Phenomena and Macrocyclic Chemistry, 1999, 35: 335-348. DOI: 10. 1023/A: 100816752054.
- [14] Benesi HA, Hildebrand JH. A Spectrophotometric investigation of the interaction of iodine with aromatic hydrocarbons [J]. Journal of the American Chemical Society, 1949,71;2703-2707. DOI:10.1021/ja01176a030.
- [15] Dang XJ, Tong J, Li HL. The electrochemistry of the inclusion complex of anthraquinone with β-cyclodextrin studied by means of OSWV [J]. Journal of Inclusion

- Phenomena and Molecular Recognition in Chemistry, 1996,24:275-286. DOI:10.1007/BF01041113.
- [16] 童林荟. 环糊精化学-基础与应用[M]. 北京:科学出版社,2001:134,163-176.
- [17] Hapiot F, Tilloy S, Monflier E. Cyclodextrins as supramo-

lecular hosts for organometallic complexes [J]. Chemical Reviews, 2006, 106 (3): 767-781. DOI: 10. 1021/cr050576c.

(收稿日期 2016-07-15)

(上接第356页)

- [12] Lee N, Kim D K, Kim E S, et al. Comparative interactomes of SIRT6 and SIRT7: Implication of functional links to aging [J]. Proteomics, 2014, 14 (13): 1610-1622. DOI:10.1002/pmic.201400001.
- [13] Ryu D, Jo YS, Lo Sasso G, et al. A SIRT7-dependent acetylation switch of GABPβ1 controls mitochondrial function[J]. Cell Metab, 2014, 20 (5):856-869. DOI: 10.1016/j. cmet. 2014. 08. 001.
- [14] Ford E, Voit R, Liszt G, et al. Mammalian Sir2 homolog SIRT7 is an activator of RNA polymerase I transcription
 [J]. Genes Dev, 2006, 20 (9): 1075-1080. DOI: 10. 1101/gad. 1399706.
- [15] Tsai YC, Greco TM, Cristea IM. Sirtuin 7 plays a role in ribosome biogenesis and protein synthesis [J]. Mol Cell Proteomics, 2014, 13 (1): 73-83. DOI: 10. 1074/mcp. M113.031377.
- [16] Tsai YC, Greco TM, Boonmee A, et al. Functional proteomics establishes the interaction of SIRT7 with chromatin remodeling complexes and expands its role in regulation of RNA polymerase I transcription[J]. Mol Cell Proteomics, 2012, 11 (5): 60-76. DOI: 10. 1074/mcp. M111.015156.
- [17] Hubbi ME, Hu H, Kshitiz, et al. Sirtuin-7 inhibits the activity of hypoxia-inducible factors [J]. J Biol Chem, 2013, 288 (29): 20768-20775. DOI: 10. 1074/jbc. M113.476903.
- [18] Hardie DG. AMP-activated/SNF1 protein kinases; conserved guardians of cellular energy [J]. Nat Rev Mol Cell Biol, 2007, 8 (10): 774-785. DOI: 10. 1038/nrm2249.
- [19] Shin J, He M, Liu Y, et al. SIRT7 represses Myc activity to suppress ER stress and prevent fatty liver disease

- [J]. Cell Rep, 2013, 5(3): 654-665. DOI: 10. 1016/j. celrep. 2013. 10. 007.
- [20] Sundaresan NR, Samant SA, Pillai VB, et al. SIRT3 is a stress-responsive deacetylase in cardiomyocytes that protects cells from stress-mediated cell death by deacetylation of Ku70 [J]. Mol Cell Biol, 2008, 28 (20): 6384-6401. DOI: 10.1128/MCB.00426-08.
- [21] Yoshizawa T, Karim MF, Sato Y, et al. SIRT7 controls hepatic lipid metabolism by regulating the ubiquitin-proteasome pathway [J]. Cell Metab, 2014, 19 (4):712-721. DOI:10.1016/j. cmet. 2014.03.006.
- [22] Kang HS, Okamoto K, Kim YS, et al. Nuclear orphan receptor TAK1/TR4-deficient mice are protected against obesity-linked inflammation, hepatic steatosis, and insulin resistance [J]. Diabetes, 2011, 60 (1): 177-188. DOI;10.2337/db10-0628.
- [23] Picard F, Kurtev M, Chung N, et al. Sirt1 promotes fat mobilization in white adipocytes by repressing PPARgamma[J]. Nature, 2004, 429 (6993): 771-776. DOI: 10.1038/nature02583.
- [24] Bosch-Presegué L, Vaquero A. The dual role of sirtuins in cancer [J]. Genes Cancer, 2011, 2 (6): 648-662. DOI:10.1177/1947601911417862.
- [25] Yu H, Ye W, Wu J, et al. Overexpression of sirt7 exhibits oncogenic property and serves as a prognostic factor in colorectal cancer [J]. Clin Cancer Res, 2014, 20 (13): 3434-3445. DOI:10.1158/1078-0432. CCR-13-2952.
- [26] Lai CC, Lin PM, Lin SF, et al. Altered expression of SIRT gene family in head and neck squamous cell carcinoma[J]. Tumour Biol, 2013, 34(3):1847-1854. DOI: 10.1007/s13277-013-0726-y.

(收稿日期 2015-10-03)